

УДК 538.975:537.6

## ПОВЕРХНОСТНАЯ ОПТИЧЕСКАЯ СЕНСИБИЛИЗАЦИЯ ТОНКОЙ ПОЛИКРИСТАЛЛИЧЕСКОЙ ПЛЕНКИ ЙОДИДА СЕРЕБРА МОЛЕКУЛАМИ БРИЛЛИАНТОВОГО ЗЕЛЕНОГО

С. В. Виноградов, М. А. Кононов, С. И. Валянский,  
А. Г. Макаров, В. В. Савранский

*Продемонстрирован эффект поверхности оптической сенсибилизации (ПОС) йодида серебра в многослойной структуре следовыми количествами газообразных молекул красителя бриллиантового зеленого. Методом возбуждения поверхности плазмонного резонанса показано, что ПОС приводит к изменению параметров поверхностного слоя и может использоваться для создания высокочувствительных и селективных газовых сенсоров.*

**Ключевые слова:** поверхностный плазмонный резонанс, оптическая сенсибилизация, галогенид серебра, оптические сенсоры, следовые количества молекул газа.

Поверхностная оптическая сенсибилизация (ПОС), как было показано в [1], представляет собой физический эффект, связанный со спектрально-селективным оптическим воздействием на следовые количества молекул красителей-сенсибилизаторов вблизи поверхности нанокристаллов галогенида серебра AgI. Наблюдение ПОС в тонком поликристаллическом слое AgI эффективно осуществляется методом поверхностной плазмонной спектроскопии [2], так как параметры возникающего поверхностного плазмонного резонанса (ППР), а именно положение минимума, амплитуда и ширина угловой спектральной линии ППР, чрезвычайно чувствительны к изменению диэлектрической проницаемости и изменению толщины поликристаллической пленки в нанометровом диапазоне [3].

В работе приводятся результаты эксперимента по поверхностной оптической сенсибилизации тонкой пленки AgI следовыми количествами молекул газа красителя бриллиантового зеленого.

---

Учреждение Российской академии наук Институт общей физики им. А. М. Прохорова РАН, 119991, Москва, ул. Вавилова, 38; e-mail: savr@nsc.gpi.ru.

**Эксперимент.** Для реализации ППР в геометрии Кречмана [4] на поверхность гипotenузной грани стеклянной призмы наносилась серебряная пленка толщиной около 50 нм, затем защитная пленка из  $\text{Al}_2\text{O}_3$  [5] и рабочая пленка серебра толщиной около 15 нм [1]. Призма с такой трехслойной пленочной структурой помещалась в реакционную камеру (бюкс) с находящимися в нем кристалликами йода. В результате летучие пары йода в течение 30 минут, взаимодействуя с серебром рабочей пленки, полностью превращали серебро в галогенид.

Приготовленная таким образом призма помещалась в камеру, в которую помещалось небольшое количество (около 10 мг) твердотельного красителя бриллиантового зеленого при комнатной температуре и нормальном давлении. Для возбуждения следовых количеств сублимированных молекул газа красителя использовался Не-Не-лазер с длиной волны излучения, равной 632.8 нм. Эта длина волны совпадает с полосой поглощения красителя. Молекулы газа бриллиантового зеленого, которые адсорбируются на поверхности йодида серебра, выполняют роль оптического сенсибилизатора, и при засветке лазерным излучением появляются нанокристаллы металлического серебра размером  $50 \times 50 \text{ нм}^2$ . Образовавшиеся при этом свободные молекулы йода покидают поверхность. Таким образом, происходит восстановление металлического серебра до тех пор, пока этот процесс не ограничится пленкой  $\text{Al}_2\text{O}_3$ .

При галогенизации и последующей оптической сенсибилизации происходило заметное изменение формы угловой спектральной линии ППР. Регистрация эффекта ППР базировалась на оптической схеме, описанной в работе [6] с введением поляризатора в возбуждающий ППР пучок света, что позволило проводить измерения углового распределения интенсивности для *p*- и *s*-поляризаций отраженного света (рис. 1). Поскольку эффект ППР реализуется только для *p*-поляризации возбуждающего света, отношение интенсивностей сигналов *p*- и *s*-поляризаций позволяло получать форму линии углового спектра ППР (кривая 3 рис. 2).

В данном эксперименте использовалась одна и та же длина волны излучения (632.8 нм) как для возбуждения поверхностных плазмонов, так и для возбуждения следовых количеств молекул бриллиантового зеленого, максимум поглощения которых (630 нм) располагается вблизи линии излучения Не-Не-лазера.

После йодизации рабочей серебряной пленки в реакционную камеру помещалось небольшое количество кристаллов бриллиантового зеленого, и для возбуждения следовых количеств в реакционной камере молекул красителя включался лазер. На рис. 3 показана полная эволюция угловых спектров ППР: 1 – исходный спектр трехслойной

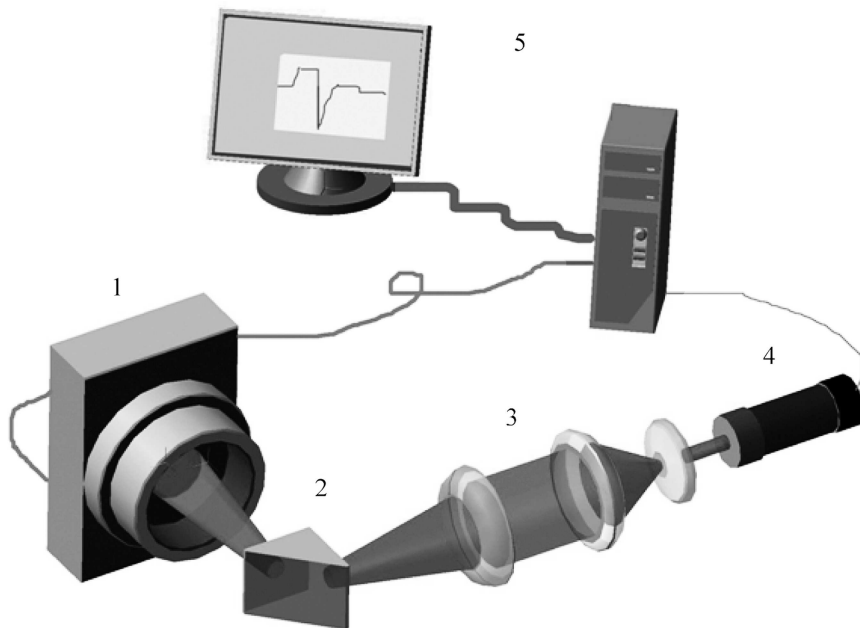


Рис. 1: Лабораторная установка: 1 – ПЗС матрица, 2 – призма с чувствительной пленкой AgI, 3 – оптическая система с поляризатором, 4 – He-Ne-лазер ( $\lambda = 632.8$  нм), 5 – компьютер. Призма 2 располагается в реакционной камере с красителем-сенсибилизатором (на рисунке не показана).

системы “серебряный слой (50 нм) – буферный слой (5 нм) – рабочий серебряный слой (15 нм)”; 2 – спектр ППР трехслойной системы после йодизации поверхности серебряного слоя; 3 – спектр после непрерывной 12-минутной экспозиции следовых количеств молекул сенсибилизатора – красителя бриллиантового зеленого излучением с длиной волны 632.8 нм. В отсутствие красителя бриллиантового зеленого сигнал ППР оставался практически неизменным в течение 40 часов при экспонировании образца излучением 632.8 нм.

В процессе сенсибилизации наблюдалось значительное изменение положения угловой спектральной линии ППР и ее ширины. Смещение минимума кривой в результате ПОС сопоставимо по величине со смещением от процесса йодизации поверхности серебряной пленки (рис. 3).

Динамика процесса сенсибилизации, фиксированная по изменению во времени угловых спектров ППР в процессе экспозиции, показывает, что изменение формы линии происходит в течение нескольких (2–4) минут с полным насыщением в течение 12–15 минут (рис. 4).

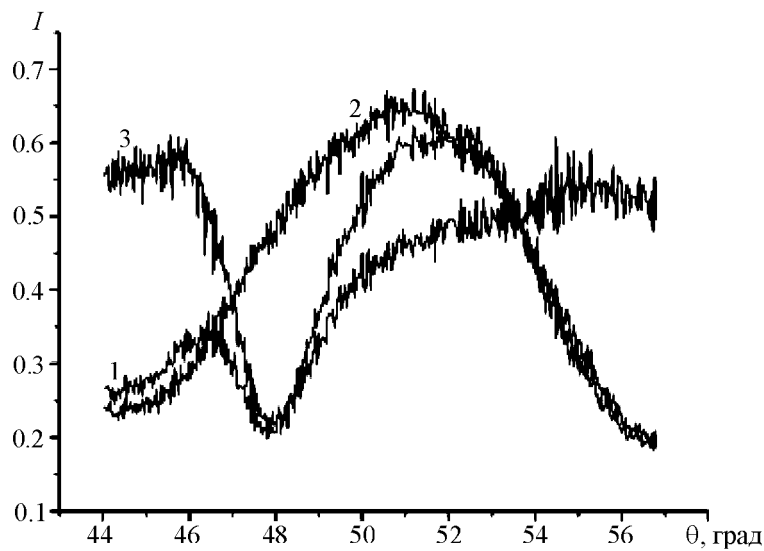


Рис. 2: Амплитуда интенсивности  $I$  отраженного света от серебряной пленки на гипотенузной грани призмы в зависимости от угла падения  $\theta$  возбуждающего света: 1 –  $p$ -поляризации, 2 –  $s$ -поляризации, 3 – отношение кривых 1 и 2.

*Обсуждение и выводы.* Характер изменения угловых спектров ППР, наблюдавшихся в эксперименте, подтверждает выводы [1] о том, что сенсибилизация приводит к изменению как толщины галогенид серебряного слоя, так и его диэлектрической проницаемости. Наиболее вероятно, что эти изменения обусловлены появлением нанокластеров ( $50 \times 50$  нм $^2$ ) металлического серебра на поверхности нанокристаллов ( $250 \times 250$  нм $^2$ ) йодида серебра, как это было определено на изображениях атомно-силового микроскопа в работе [1]. В данной работе установлено, что ПОС имеет предел насыщения, обусловленный, по-видимому, поверхностной плотностью активных кристаллов галогенида серебра, что, в свою очередь, подтверждает вывод о поверхностном характере оптической сенсибилизации.

Также показано, что эффект ПОС носит выраженный спектральный характер по возбуждению молекул паров сенсибилизатора в полосу поглощения. Исходя из этого, можно заключить, что эффект ППР в сочетании с ПОС может быть положен в основу работы оптических высокоселективных и высокочувствительных химических сенсоров для обнаружения следовых количеств газообразных молекул паров от химических твердотельных веществ, которые вызывают эффект ПОС. По нашему предположению, сенсибилизаторами в подобных сенсорах могут выступать молекулы газа, образующиеся в

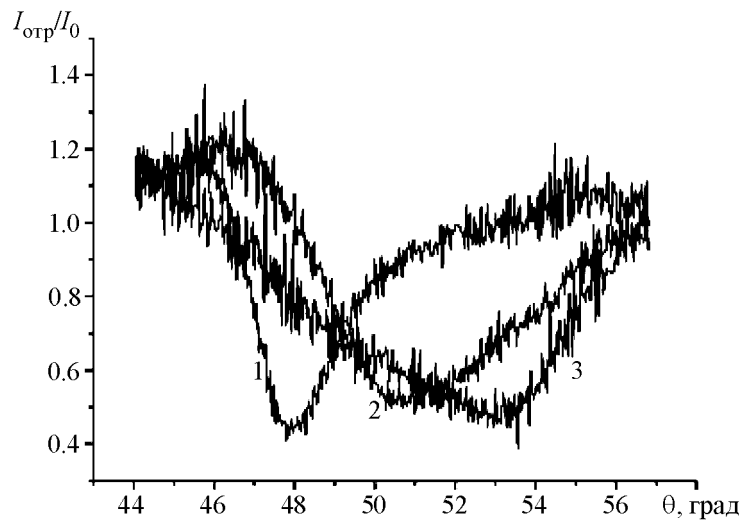


Рис. 3: Спектры ППР до и после помещения в камеру сенсибилизатора и включения возбуждающего излучения: 1 – исходный спектр ППР; 2 – спектр ППР системы после йодизации; 3 – спектр ППР после сенсибилизации йодида серебра бриллиантовым зеленым и экспонирования излучением с  $\lambda = 632.8$  нм.

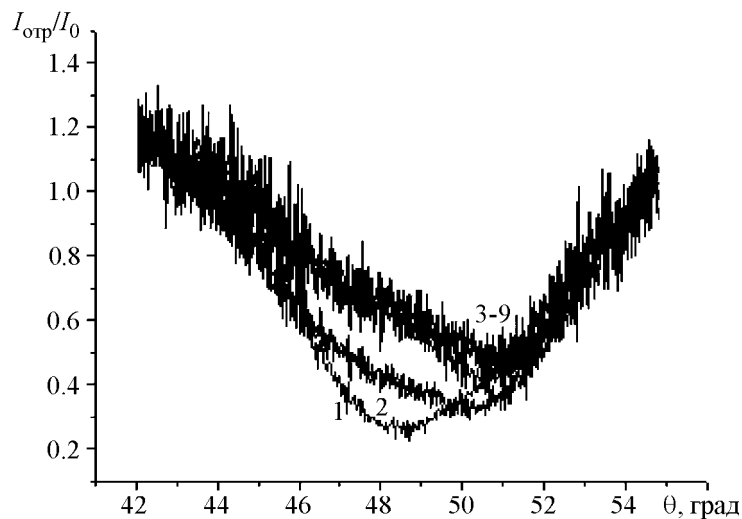


Рис. 4: Кинетика угловых спектров ППР в процессе поверхностной оптической сенсибилизации: 1 – исходная кривая галогенсеребряной пленки, 2 – после 4 минут экспозиции излучением 632.8 нм, 3-9 – после 15–200 минут.

атмосфере при нормальных давлении и температуре, от испарения твердотельных или жидкых веществ. Для этого должна реализоваться возможность возбуждения искомых молекул соответствующими источниками оптического или инфракрасного диапазонов.

Работа поддержана грантом РФФИ № 11-02-01284.

#### Л И Т Е Р А Т У Р А

- [1] С. В. Виноградов, М. А. Кононов, В. В. Савранский, С. И. Валянский, М. Ф. Урбайтис, Квантовая электроника **33**(8), 711 (2003).
- [2] H. Raether, Phys. Thin Films **9**, 145 (1977).
- [3] I. Pockrand, J. D. Swalen, et al., Sur. Sci. **74**(1), 15 (1977).
- [4] E. Kretschmann, Z. Physik **B241**, 313 (1971).
- [5] С. И. Валянский, С. В. Виноградов, М. А. Кононов, В. В. Савранский, Краткие сообщения по физике ФИАН, № 2, 3 (2003).
- [6] С. В. Виноградов, С. И. Валянский, М. А. Кононов, В. В. Савранский, М. Ф. Урбайтис, “Датчики и преобразователи информации систем измерения, контроля и управления”. Материалы XVI Научно-технической конференции с участием зарубежных специалистов, Москва, 2004 (М., МГИЭМ, 2004), с. 207.
- [7] С. И. Валянский, С. В. Виноградов, М. А. Кононов, А. Г. Макаров, В. В. Савранский, Препринт ИОФРАН № 46 (Москва, ИОФАН, 2006).

Поступила в редакцию 9 декабря 2011 г.